

No.

1

Date: 2017. 10. 2

## THE PHYSICS OF FLUIDS AND PLASMAS

### 14 Basic magnetohydrodynamics

・宇宙空間のガスはほとんどがプラズマで構成されたガスも plasma

・プラズマ中の粒子は磁場と作用する

→ 内盤のアウトフローや磁角回転不安定など

・プラズマを流体みなして磁場との作用を記述する

→ p1 Magnetohydrodynamics (MHD)

・原始星のアウトフロー、原始惑星系内盤の形成を理解する

ために、MHDの基礎を理解するのが目標

固体、液体、気体…

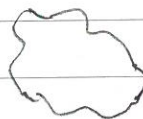


固体

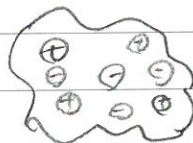


液体

三態



気体



プラズマ (plasma)

第4の状態といわれる

ガス(の一部)が電離している状態

#### 14.1 The fundamental equations

・分子(原子)間の衝突頻度が高いため、ガスは流体みなせる。

・電荷の電離が無視できる

⇒ MHD が適応できる。

Date: 2017.10.2

電磁学

MHD 2" は、流体の式に磁場の項が入る。

## ○ 連続の式

$$\frac{\partial \rho}{\partial t} + \nabla \cdot (\rho \mathbf{v}) = 0 \quad (14.1)$$

## ○ Navier - Stokes + 磁場の項

$$\frac{\partial \mathbf{v}}{\partial t} + (\mathbf{v} \cdot \nabla) \mathbf{v} = \mathbf{F} - \frac{1}{\rho} \nabla P + \frac{1}{\rho c} \mathbf{j} \times \mathbf{B} + \nu \nabla^2 \mathbf{v} \quad (14.2)$$

Maxwell 方程式 (in cgs unit)

$$\begin{cases} \nabla \cdot \mathbf{E} = 4\pi \rho \\ \nabla \cdot \mathbf{B} = 0 \\ \nabla \times \mathbf{E} = -\frac{1}{c} \frac{\partial \mathbf{B}}{\partial t} \\ \nabla \times \mathbf{B} = \frac{4\pi}{c} \mathbf{j} + \frac{1}{c} \frac{\partial \mathbf{E}}{\partial t} \end{cases}$$

$$\hookrightarrow \nabla \times \mathbf{B} = \frac{4\pi}{c} \mathbf{j} \quad (13.53)$$

非相対論的などき、 $\frac{\partial \mathbf{E}}{\partial t}$  の項はおいた

(13.53) &amp; (14.2) (14.3)

$$\frac{\partial \mathbf{v}}{\partial t} + (\mathbf{v} \cdot \nabla) \mathbf{v} = \mathbf{F} - \frac{1}{\rho} \nabla P + \frac{1}{4\pi\rho} (\nabla \times \mathbf{B}) \times \mathbf{B} + \nu \nabla^2 \mathbf{v} \quad (14.3)$$

ベクトル解析の公式

$$(\nabla \times \mathbf{B}) \times \mathbf{B} = (\mathbf{B} \cdot \nabla) \mathbf{B} - \nabla \left( \frac{\mathbf{B}^2}{2} \right) \quad (14.4)$$

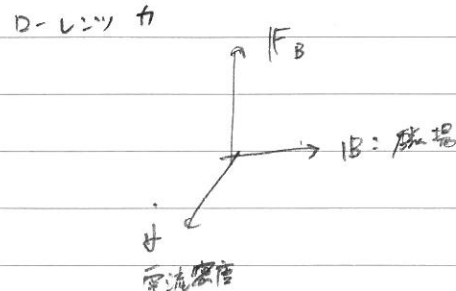
F'')

$$\frac{\partial \mathbf{v}}{\partial t} + (\mathbf{v} \cdot \nabla) \mathbf{v} = \mathbf{F} - \frac{1}{\rho} \nabla \left( P + \frac{\mathbf{B}^2}{8\pi} \right) + \frac{(\mathbf{B} \cdot \nabla) \mathbf{B}}{4\pi\rho} + \nu \nabla^2 \mathbf{v} \quad (14.5)$$

各項の意味

 $\nabla \frac{\mathbf{B}^2}{8\pi}$  ... 磁気圧 $(\mathbf{B} \cdot \nabla) \mathbf{B}$  ... 磁力線に沿った張力

これをもう少し詳しく



Date: 2017. 10. 2

$$(B \cdot \nabla) B = (B \cdot \partial_x B_x) \mathbf{e}_x + (B \cdot \partial_y B_y) \mathbf{e}_y + (B \cdot \partial_z B_z) \mathbf{e}_z$$

F'、別の書き方を試す

$$\left[ \frac{1}{4\pi\rho} (\nabla \times B) \times B \right]_i = -\frac{1}{\rho} \frac{\partial}{\partial x_i} \left( \frac{B^2}{8\pi} \delta_{ij} - \frac{B_i B_j}{4\pi} \right) \quad (14.6)$$

※  $\frac{\partial B_i}{\partial x_i} = \nabla \cdot B = 0$

では、F' (14.5) も次のように書ける

$$\rho \frac{dV_i}{dt} = \rho F_i - \frac{\partial}{\partial x_i} (P_{ij} + \mu_{ij}) \quad (14.7)$$

$$\mu_{ij} = \frac{B^2}{8\pi} \delta_{ij} - \frac{B_i B_j}{4\pi} \quad (14.8)$$

$$P_{ij} = \begin{bmatrix} \overset{i}{\longleftrightarrow} \\ \swarrow \searrow \\ \end{bmatrix} \uparrow j$$

( 対角成分 ... 壓力 )  
それ以外 ... 粘性応力

 $\mu_{ij}$  も同じように、対角成分の  $\frac{B^2}{8\pi}$  は圧力をもたらす。

残りの項の意味は、次のように考えると分かります。

磁場の向きに x 軸をとる

$$\mu_{ij} = \begin{pmatrix} \frac{B^2}{8\pi} & 0 & 0 \\ 0 & \frac{B^2}{8\pi} & 0 \\ 0 & 0 & -\frac{B^2}{8\pi} \end{pmatrix}$$

では、F' 丁寧に書き直す。

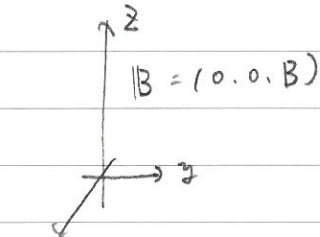
$$\mu_{xx} = \frac{B^2}{8\pi}$$

$$\mu_{yy} = \frac{B^2}{8\pi}$$

$$\mu_{zz} = \frac{B^2}{8\pi} - \frac{B^2}{4\pi}$$

圧力

( 密度的 )



張力

磁場の向きに平行

## ○ エネルギーの式

$$\rho \frac{dE}{dt} + P \nabla \cdot \mathbf{v} = -L \quad (4.13)$$

$E$ : 単位質量 単位時間あたりの 内部エネルギー

$-L$ : 単位体積あたりの 熱ゲイン率

(  $L$  は熱ロス率 )

$-L$  の中に、熱輻射  $\nabla \cdot (k \nabla T)$  に加えて Ohmic heating

の項  $\nabla^2 v$  が加わる。  $\rightarrow$  導電率 (conductivity)

(意味は抵抗に対するエネルギー)

$$W = V \times I = I^2 R \leftrightarrow j^2 / \sigma$$

## ○ induction equation (誘導方程式)

つまり、磁場の変化率を記述する式が必要

Maxwell 方程式

$$\frac{\partial \mathbf{B}}{\partial t} = -c \nabla \times \mathbf{E}$$

i.

$$\mathbf{E} = \frac{c}{4\pi\sigma} \nabla \times \mathbf{B} - \frac{\psi}{c} \times \mathbf{B} \quad (13.54)$$

を代入すると、次の式が得られる。

$$\frac{\partial \mathbf{B}}{\partial t} = \nabla \times (\psi \times \mathbf{B}) + \kappa \nabla^2 \mathbf{B} \quad (14.10)$$

$$\kappa = c^2 / 4\pi\sigma \quad (14.11) \quad \text{from } \nabla \times (\nabla \times \mathbf{B}) = \nabla(\nabla \cdot \mathbf{B}) - \nabla^2 \mathbf{B}$$

: magnetic diffusivity

磁気拡散係数

ただし、 $\kappa$ は空間的に一定。

Date: 2017.10.2

手記 by 2c

## MHD Eq.

$$\left\{ \begin{array}{l} \frac{\partial \rho}{\partial t} + \nabla \cdot (\rho \mathbf{v}) = 0 \\ \frac{\partial \mathbf{v}}{\partial t} + (\mathbf{v} \cdot \nabla) \mathbf{v} = \mathbf{F} - \frac{1}{\rho} \nabla (P + \frac{B^2}{8\pi}) + \frac{(B \cdot \nabla) B}{4\pi\rho} + \nu \nabla^2 \mathbf{v} \end{array} \right. \quad (14.1)$$

$$\left\{ \begin{array}{l} \rho \frac{dE}{dt} + P \nabla \cdot \mathbf{v} = -L \\ \frac{\partial \mathbf{B}}{\partial t} = \nabla \times (\mathbf{v} \times \mathbf{B}) + \eta \nabla^2 \mathbf{B} \end{array} \right. \quad (14.5)$$

$$\left\{ \begin{array}{l} \rho \frac{dE}{dt} + P \nabla \cdot \mathbf{v} = -L \\ \frac{\partial \mathbf{B}}{\partial t} = \nabla \times (\mathbf{v} \times \mathbf{B}) + \eta \nabla^2 \mathbf{B} \end{array} \right. \quad (14.10)$$

14.1 ... 質量保存  $\times 1$ 

変数

14.5 ... 運動方程式  $\times 3$  $B(x), v(x) \dots b$ 4.13 ... 工率保存  $\times 1$  $E, P \dots 2$ 14.10 ... 磁場の時間変化  $\times 3$ 

計 8本

計 8

## hydrodynamic model の適用

1. Navier - Stokes は 磁場による力の項が付いた。

2. Ohmic heating の項  $\mu - L$  が付いた。

3. induction equation

14.2 Some consequences of the induction equation

induction equation の 3.3 式を見つけた。

(14.10) は 湍度の式 (5.12) と同じ形をしていた。

$$\frac{\partial \mathbf{w}}{\partial t} = \nabla \times (\mathbf{v} \times \mathbf{w}) + \nu \nabla^2 \mathbf{w} \quad (5.12)$$

 $\nu$ : 駆粘性係数 $w$ : 湍度 (vorticity)

V: L をそれぞれ系の典系的 な 速度、長さ 単位

Date: 2017. 10. 2

## 渦度の式

(5.12)

induction eq.:

臺灣大學

左立 第一項

$$vw/L$$

(14.10)

VB/L

二項

$$uw/L^2$$

$$\lambda B/L^2$$

第一項 / 第二項

$$LV/u$$

$$LV/B$$

Reynolds 数

magnetic Reynolds 数

$$RM = \frac{LV}{\lambda} \quad (14.12)$$

$RM$  は 長さの比例  $\Rightarrow$  元体スケールの  $RM$   $>$  実験室規模の  $RM$   
 $10^4$  K の水素 ポラス  $\lambda$  を考慮.

(13.27) の  $\lambda$ . その resistivity を求められた.

$$\text{これを } \rightarrow \text{ とし}, \quad \lambda = \frac{C^2 \eta}{4\pi} \approx 10^7 \text{ cm}^2 \cdot \text{s}^{-1} \quad (14.13)$$

$$\eta: \text{resistivity} \quad \eta = \frac{1}{\sigma}$$

実験室 ...  $L \approx 10^2 \text{ cm}$ ,  $V \approx 10 \text{ cm} \cdot \text{s}^{-1}$  とする

$$RM \approx 10^{-4} \ll 1$$

宇宙 ...  $L \approx 10^8 \text{ cm}$ ,  $V \approx 10^5 \text{ cm} \cdot \text{s}^{-1}$ 

$$RM \approx 10^6 \gg 1$$

$$1 \text{ au} \approx 1.5 \times 10^{13} \text{ cm}$$

F<sub>2</sub> (14.10) は、大きさ 10<sup>11</sup> は次の F<sub>3</sub> に大きさ.

$$\text{実験室} : \frac{\partial B}{\partial t} \approx \lambda \nabla^2 IB \quad (14.14)$$

$$\text{宇宙} : \frac{\partial B}{\partial x} \propto \nabla \times (v \times IB) \quad (14.15)$$

$$10^6 \text{ cm/s}$$

太陽表面

太陽の cm/s

- 23.

( 以後  $v \times B$  難易近似であることに注意 )

つまりにもう片方の項も大事だったります.

$v = v'$  は、あくまで式の 3 つ目見たい見たい

大手をひくのは、磁場は、実験室規模と元体規模では

3 つ目が大きくなるからです！

Date: 2017.10.2

(14.14)  $\mathbf{I} = \sigma \mathbf{E}$ 

(14.14) は 抵散方程式の形になつてゐる

→ 磁場は自然に散逸

電離室 スペース プラズマ 内では

電源がない電流は、自然に散逸されていく

対応して磁場もえた ( $\frac{\partial \mathbf{B}}{\partial t} \propto \mathbf{I}$ )(14.15)  $\mathbf{I} = \sigma \mathbf{E}$ conductivity  $\sigma$  が無限大 (resistivity  $\rho$  が 0 のとき) $\mathbf{I} \rightarrow 0$  のり、(14.10) は 次のように書ける。

$$\frac{\partial \mathbf{B}}{\partial t} = \nabla \times (\mu \mathbf{I} \times \mathbf{B}) \quad (14.6)$$

: ideal MHD

任意のベクトル  $\mathbf{Q}$  に対して、次のような関係がある。

$$\frac{\partial \mathbf{Q}}{\partial t} = \nabla \times (\mu \mathbf{I} \times \mathbf{Q})$$

を満たす  $\mathbf{Q}$  は、 $\frac{d}{dt} \int_S \mathbf{Q} dS = 0$ 

つまり、今、

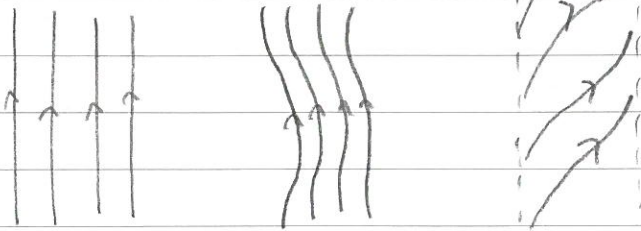
$$\underbrace{\frac{d}{dt} \int_S \mathbf{I} \mathbf{B} \cdot d\mathbf{S}}_{=0} = 0 \quad (14.17)$$

Alfvén's theorem of flux-freezing

流体の表面全体での、 $\mathbf{I} \mathbf{B}$  の積分は一定である

⇒ 磁場は流体と共に運動する

Fig. 14.1

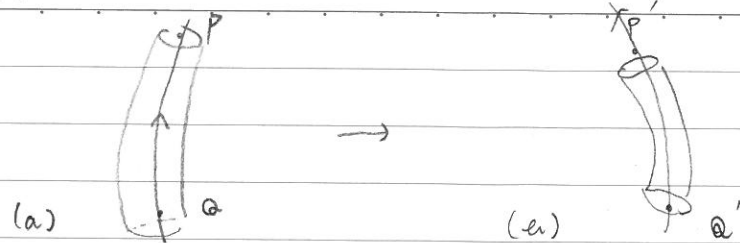


(a)

(b)

(c)

Fig. 14.2



流体质片  $Q, P$ .

(a) のままで、 $P, Q$  をつぶすと磁場は沿  $-T$  方向で弱まる。

このとき、表面積は 0.

時間  $\Delta T \rightarrow 0$  (a) のままであると  $(Q \rightarrow Q', P \rightarrow P')$

円筒の形を保たる。 (14.17) を満たすには、(14.17) 流体は  
あわせて磁場もうごく必要がある。

つまり、 $R_M$  が大きい宇宙空間では、(14.15) 式

磁場は凍結された。

### ② 手始め。

induction equation の解法 (磁場の解法)

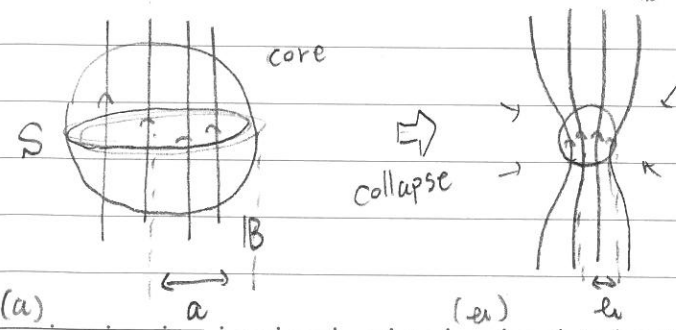
1. 磁場の拡散 (Ohmic dissipation)

2. 磁場の凍結

特に、ideal MHD では拡散は無視でき、凍結の性質  
重要な性質である。

・重力崩壊と磁場の強さ

$B'$



Date: 2017.10.2

コアが collapse するのを考える  $(a) \rightarrow (a')$

コアの断面積をそれぞれ  $S, S'$

磁場の強さを  $B, B'$

コアの半径を  $a, a' \approx 33$

磁場の凍結より、断面積を減らすと磁場の能量は変化しない。よって、

$$\pi a^2 B' = \pi a'^2 B$$

$$B' = B \left( \frac{a}{a'} \right)^2 > B$$

重力収縮すると磁場は強くなる

単位:  $\text{Wb} \cdot \text{m}^{-2}$

次元:  $\text{A}^2 \text{m}^{-2}$   
単位面積あたり  
エネルギー量

中性子星の磁場 ...  $10^{12} \text{ G}$  と思われてゐる。

どうなってるか?

太陽 like 星 ... 半径  $10^8 \text{ cm}$

極の磁場  $10 \text{ G}$

中性子星の半径 ...  $10^6 \text{ cm}$

そこで、収縮を考えると  $10^5 \times 10^5 = 10^{10}$  のオーダーで断面積は小さくなる。

$\rightarrow$  磁場の強さは  $10 \text{ G} \times 10^{10} = 10^{11} \text{ G}$

中性子星の